

НОВИ КВАНТОВИ ЕЛЕКТРОННИ УСТРОЙСТВА ЗА ГЕНЕРИРАНЕ НА  
ТЕСНОИВИЧНО ПРЕНАСТРОЙВАЕМО ЛЪЧЕНИЕ С НИСЪК ФОНОВ ШУМ

ДФН М.Ненчев, асп. инж. М.Денева

Институт по електроника при БАН  
1784 София, 72 бул.Дариградско шосе

Технически У-тет -София, ф-л Пловдив  
4000 Пловдив, 61 бул.Санкт Петербург

Оптическите квантови генератори с пренастройваемо лъчение и нисък фонов шум / $\approx 10^{-6}$ / около спектралната линия на генерация са от интерес за редица приложения, в частност за Раман-спектралните методи. Последните са база за създаване на приложни оптоелектронни системи за екологичен контрол - за определяне на малки количества вредни примеси в течни и газообразни среди ; за биомедицински и за научни изследвания.

Утвърден метод за създаване на квантови генератори от разглеждания тип е приложението на дисперсионен оптичен резонатор с интерференчни селектори като Интерферометри на Фабри-Перо /ИФП/ [1] или Интерференчни Клинове /ИК/[2] . За решаване на основаната задача при пренастройваемия генератор - съчетанието на достатъчно тясна линия на селекцията с широк спектрален интервал на пренастройване, в тези резонатори се използват комбинации от два или повече ИФП или ИК [1,2] . Интерферометърът с по-голяма дебелина осигурява достатъчна тесноивичност / 0.5 ... 0.01 Å / на селекцията, а тънкият интерферометър селектира единствен резонанс от близкоразположените резонанси на дебелия в ивицата на усилване на активната среда. Системата е ефективна, но трудна за управление с изискването за синхронна пренастройка на два различни селектора и сложна в конструктивно отношение /два интерферометъра/.

В настоящата работа ние предлагаме и изследваме /компютърна симулация и експеримент/ алтернативно решение за създаване на високоселективен дисперсионен резонатор и лазери с използването му. В новия квантов генератор резонаторът с висока селективност се изгражда с единствен селективен интерференчен елемент - ИК или ИФП с достатъчна дебелина за генериране на тясна спектрална линия.

## Принцип на новия резонатор

Оптичната схема на включване на интерферометъра осигурява самоселекция на единствен резонанс в ивицата на усилване на активната лазерна среда. Принципът се заключава [3] във формирането на две различни поредици резонанси на интерферометъра с различно спектрално разстояние между двете групи резонанси, подбрано така, че да обезпечи съвпадение на единствена двойка резонанси в ивицата на усилване /или в широка област от нея/. В конкретния предложен и изследван резонатор това се постига чрез преминаване на остатъка на резонатора през ИК с достатъчна дебелина / $30...100 \mu m$ / под два различни подходящи ъгли за двете посоки на преминаване. Принципът на селекцията се илюстрира от Фиг.1, а оптичната схема на резонатора е дадена на Фиг.2.

### Пресмятане

Резонансните честоти на ИК /или ИФП/ са дискретна последователност с честотен интервал помежду им  $\Delta\lambda$ , в дължина на вълната, даден от израза [4] :

$$\Delta\lambda = \lambda^2 (2ne \cos\theta)^{-1}$$

1

тук  $\lambda$  е дължината на вълната на генерацията /или с добро приближение, тази в максимума на усилзането при пренастройване в област от няколко  $nm$ /,  $n$  е коефициентът на пречупване в разделителния слой на интерферометъра,  $e$  - дебелината на интерферометъра, а  $\theta$  е ъгъла на пречупване /при  $n=1$  и на падане/.

За ефективна селекция на единична линия в багрилния лазер е подходящо разстоянието между линиите на пропускане на интерферометъра да бъде  $20...30 \mu m$  /възбуждане с хармонична на  $Nd:YAG$  лазер, с импулсни газоразрядни лампи/. Спектрална ивица на пропускане с ширина  $\sim 0.1 \mu m$  при финес на интерферометъра  $F \approx \pi R^{1/2} (1-R)^{-1} \sim 30$  /отражение  $R$  на огледалата  $\geq 0.9$ / би обезпечил интерферометър с дебелина  $30...100 \mu m$ . За интерферометър с база  $e \approx 30 \mu m$  и за ъгъл за падане  $\theta = 1^\circ$  спектралното разстояние между максимумите на пропускане /резонаните/ е  $\approx 6 nm$ . При това ширината на резонанса е  $\approx 0.2 nm$ . Ъгълът на падане за обратното преминаване на остатъка може да се пресметне от изискването, например за поредно съвпадение на шес-

тия пореден резонанс след първия съвпадац. При ширина на линията  $\approx 0.2 \text{ nm}$  може да се пресметне, че това се гарантира много добре при ширина между резонансите от втората поредица  $\approx 7,2 \text{ nm}$ . За втората поредица това означава точно съвпадение на петия резонанс с шестия от първата. При стойности на  $F$  от  $\approx 15 \dots 20$ , разстоянието между резонансите в първата и втората поредици обезпечава пълното им разделяне до съвпаденията. Пресмятането на втория ъгъл т.е.  $\theta_2$  е от (1) при изискване за новата ширина  $\Delta\lambda_2$ :

$$\theta_2 = \arccos [(\Delta\lambda_1)(\Delta\lambda_2)^{-1} \cos \theta_1]$$

За  $\theta_1 = 1^\circ$ ,  $\Delta\lambda_1 = 6 \text{ nm}$ ,  $\Delta\lambda_2 = 7,2 \text{ nm}$  получаваме  $\theta_2 = 33^\circ 34' 13''$ .

На Фиг.3 са представени компютърно пресметнатите поредици от резонанси с ширините им за двета ъгъла на падане и произведението от двете пропускания. Параметрите на ИК са дадени на графите. Вижда се самоселекцията на единствен резонанс. Пресмятането е извършено по формулата на Айри за пропускане на ИФП /а за вътрешнорезонаторни лазерни спирални снопове с диаметри под милиметър - и за ИК / [чапр.4] :

$$T(\lambda) = \left[ 1 + (2F\pi^{-1})^2 \sin^2 (\pi \lambda^{-1} 2ne \cos \theta) \right]^{-1}$$

От друга страна, ширина на линията на селекцията  $\delta\lambda$  от  $\approx 0.1 \dots 0.2 \text{ nm}$  може да осигури /за лазер с лампово възбудждане; с хармонична на Nd:YAG- генерация в багрилна среда/ достатъчна за редица приложения ширина на излъчвания спектър от порядъка на  $\text{pm}$ . При оценката се отчита известната зависимост за степеннието на генерирания спектър  $\delta\lambda$ :  $\delta\lambda = \delta\lambda (t \cdot T^{-1})^{-1}$ , където  $t$  е продължителността на генерацията, а  $T$  - времето за обход на резонатора [5].

При изменение на дебелината на интерферометъра /за ИК чрез транслация/ в равнината на едно от огледалата му, за ИФ чрез пневматичен транслататор /, селектираната линия се пренастройва.

Съществен въпрос, който е необходимо да се разгледа за новата резонаторна схема е критичността към отклонение от пресметнатите ъгли на падане. При отклонение, максимумите на съвпа-

дащите резонанси се отчестват един спрямо друг и общото пропускане намалява. На Фиг.4 са дадени компютърно пресметнатите графики на общото пропускане при изменение на един от ъглите /  $\theta_2$  / около стойността на точно съвпадение на върховете на резонансните кризи. Пресмятанието са за дебелини на ИК / и ИФП / 30 mm и 100 mm. От графиките се вижда, че критичността нараства с дебелината на интерферометъра, но отклонение от точния ъгъл от  $5 \dots 10^\circ$ , не понижава съществено пропускането. Такава точност на настройване е практически напълно постигнала в лазерна конструкция.

### Шумови характеристики

Предложената схема намалява съществено /практически отстранява/ фоновото шумово излъчване около селектираната честота. За коефициент на отражение на огледалата на интерферометъра  $R \geq 90\%$  пропускането за нерезонансната честоти спада до под  $10^{-2}$ , при теоретично пропускане 1 за селектираната резонансна честота /за ИФП, за ИК може да бъде около 1/. Тази разлика в повече от два порядъка се увеличава допълнително от конкурентните ефекти при генериране в среди с еднородно разширение на спектъра на усиливане. В частност, към тях се отнасят най-интересните за пренасътрявани лазери - багрилните, с Титан-Сапфир и F-центри.

Съгласно [5], относителните интензитети /спрямо стартовите, с резонно приемане за еднаквост на стартовите [5] /  $I_i$  и  $I_j$  за две честоти или два резонансни мода /  $\lambda_i$  и  $\lambda_j$  / еволюират в процеса на генерацията, като съотношението им се дава от израза [5] :

$$I_i(t) = I_j(t)^{\delta_{ij}} \exp t/\tau_{ij} \quad 2$$

където  $\delta_{ij} = [\sigma_e(\lambda_i) + \sigma_a(\lambda_i)][\sigma_e(\lambda_j) + \sigma_a(\lambda_j)]^{-1}$

$$\tau_{ij} = T \{ 2 \ell N [\delta_{ij} \sigma_a(\lambda_j) - \sigma_a(\lambda_i)] + \delta_{ij} \alpha(\lambda_j) - \alpha(\lambda_i) \}^{-1}$$

Тук  $\ell$  е дължината на активната среда,  $N$  - концентрацията на активните частици,  $\sigma_e$  и  $\sigma_a$  - съответните сечения за поглъщане и принудено излъчване;  $\alpha = -\ln[V_1 V_2 T(\lambda)^2]$  е коефициентът на загубите,  $V_1, V_2$  са коефициентите на отражение на резонаторните огледала. За багрилни среди като Rh66 в етанол /най-

разпространената багрилна среда/,  $\delta_{ij}$  има стойност близка до 1 [5]. С отчитане на това, изразът (2) може да се опрости до:

$$I_i(t) \approx I_j(t) e^{\frac{At}{T} \left[ \frac{T(\lambda_j)}{T(\lambda_i)} \right]^{2t/T}}$$

където  $A = 2\ell N [\sigma_a(\lambda_j) - \sigma_a(\lambda_i)]$ . За сравнително тесен спектрален интервал около максимума на усилването на багрилото / $\approx 10 \text{ nm}$ / с добро приближение  $\sigma_a(\lambda_j) \approx \sigma_a(\lambda_i)$  и  $A \approx 0$ . За типичните резонатори  $T \sim 3...5 \text{ ns}$ . При възбуддане с импулсни газоразрядни лампи, с лазер с пари на мед или с хармонична на  $Nd:YAG$  лазер времето  $t$  е в интервала  $15....1000 \mu\text{s}$ . При отбелязаното съотношение на пропусканията на Интерферометъра  $T(\lambda_j)/T(\lambda_i) \sim 10^{-2}$  от (3) получаваме :

$$I_i(t) \sim I_j(t) \cdot (10^{-6} ... 10^{-9})$$

Така, фоновото излъчване не надвишава милионна част от излъчването на селектираната линия. Ниското фоново излъчване е важен предимство на схемите с изход през ИК или ИФП [2].

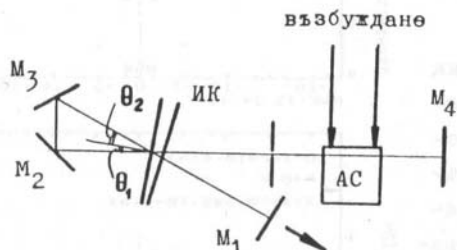
#### Експериментален тест.

Разгледаното ново решение на пренастройваем тесноивичен лазер е тестирано на примера на багрилна активна среда / $Rh 6G$  с концентрация  $\sim 10^{-3} \text{ M.l}^{-1}$  в етанол/. Възбуддането е с втора хармонична / $0.53 \mu\text{m}$ / на  $Nd:YAG$  лазер или с лъчение на  $N_2$ -лазер. Използвани са ИК с бази  $30 \mu\text{m}$  и  $100 \mu\text{m}$  и коефициенти на отражение на огледалата  $R \approx 0.9$ . Огледалата са изработени по специална технология за близък / $0.9 \pm 0.04$ / коефициент на отражение за двета ъгъла на падане  $\theta_1 = 1^\circ$  и  $\theta_2 = 33^\circ 34' 13''$ . Ъгълът при върха на ИК е  $\sim 3 \cdot 10^{-5} \text{ rad}$ . В стандартната схема на резонатора с ИК, за преминаване по еднакви пътища на оства за падане и отражение, лазерът генерира на няколко максимума от съседните резонанси / $2...5$  в зависимост от ИК/. Ширината на линията е на генерацията е  $8...15 \mu\text{m}$ . Пренастройването е чрез транслиране на клина. В новата схема и за двета клина се селектира единственна линия. Шумовите характеристики, изследвани чрез сравнителна методика /отслабване на излъчването на селектираната линия чрез калибирирани филтри и сравнение с излъчването на фонова честота, показва че шумовата компонента е по-ниска от  $10^{-5}$ .

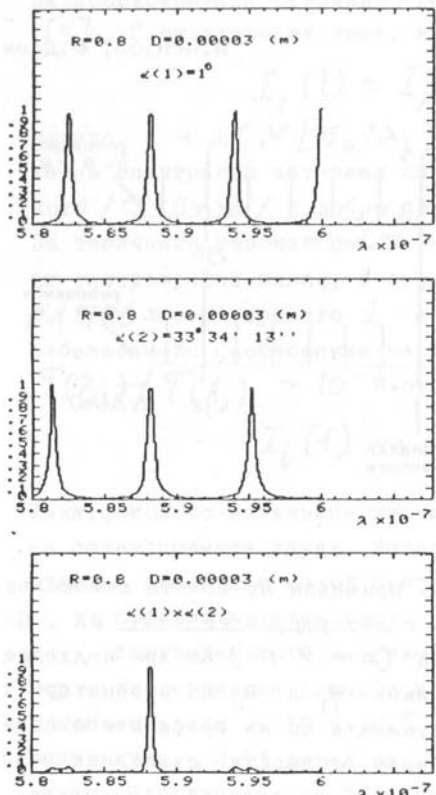
Работата се поддържа със средства от д-р Ф-45 на Нац. фонд "Начучни Изследвания"



Фиг.1. Към пояснението на принципа на новата самоселектираща резонаторна схема с интерференчен клин ИК. Поредици от резонанси за ИК ( $\epsilon = 30 \mu\text{m}$ ) за два подходящо подбрани ъгли на преминаване  $\theta_1$  и  $\theta_2$  на резонаторната ос през ИК. По хоризонталната ос на графиките е нанесено спектралното разстояние от двойка съвпадащи резонанси.

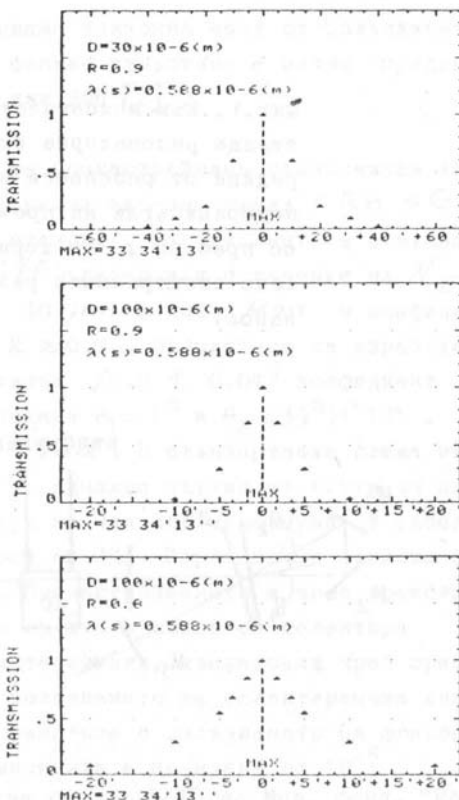


Фиг.2. Оптична схема на лазерния резонатор със самоселектиращ интерференчен клин ИК.  $M_4, M_3, M_2$  – високоотразяващи огледала,  $M_1$  – изходно огледало.  $\theta_1$  и  $\theta_2$  – ъгли на падане. АС – активна среда.



— Фиг.3. Компютърно пресметнати графики на поредицата резонанси на ИК ( $\epsilon = 30 \mu\text{m}$ ,  $n=1$ ) за ъгли на преминаване на остатъка на резонатора  $\theta_1 = 1^\circ$  (горе),  $\theta_2 = 33^\circ 34' 13''$  (в средата) и на общото пропускане (долу).

Фиг.4. —  
Компютърно пресметнати графики на зависимостта на максималното пропускане в съвпадащия резонанс от отклонението от ъгъла на точно съвпадение (параметрите на ИК са дадени на графиката).



## ЛИТЕРАТУРА

1. Bradley, B.J., Lasers: Experimental and Applications" – in "Atoms,Molecules and Lasers" /Ed.Itern.Atomic Energy Agency,Vienna,1974/.
2. Nenchev M.,Meyer Y., Optics Lett.,6,119,1981, Optics Lett., 7,199,1982, Proc.SPIE, 473,181,1984  
Nenchev M. Stoykova E.,Optical and Quantum Electr.,25,1993
3. Ненчев М.,Авт.Свид. ИИР № 44 006 /1987
4. Born M, Wolf E., Principle of Optics /Pergamon Press, 5 th Edition, 1975/
5. Juramy P.,Flamant P.,Meyer Y., IEEE J.of Quant. Electron., QE-13, 855,1977